

УДК 519.87

## ЗАДАЧА ПЛАНИРОВАНИЯ ПУТИ ПОКРЫТИЯ С ОГРАНИЧЕНИЯМИ НА ДЛИНУ ПУТИ И ВРЕМЯ

Кузнецов А.В. (Воронеж)

### 1. Постановка задачи

В статье мы обсудим ограниченную версию известной задачи планирования пути покрытия [1-3], известной также как задача коммивояжера (далее – ЗК). Пусть  $D \subset \mathbb{R}^2$  – ограниченная область с границей в виде замкнутой ломаной  $\partial D$ . Далее мы будем называть такие области «многоугольниками» и обозначать множество таких областей как  $\mathcal{P}$ . Агент  $ag$  должен покрыть  $D$  попарно непересекающимися прямоугольниками размера  $a \times b$  за минимально возможное время, выходя из точки  $p_0 = (x_0, y_0) \in \partial D$ . Агент  $ag$  имеет запас энергии  $E$  для того, чтоб двигаться по своему пути за время  $T$ , т. е. путь агента, движущегося с постоянной скоростью  $v$ , может иметь длину не более  $l = vT > 0$ . Агент должен всегда возвращаться в точку  $p_0$  по истечении времени  $T$ . Если  $D$  не может быть покрыта таким образом, то вместо  $p_0$  агент может выбрать последовательно другие стартовые точки  $p_1, p_2, \dots, p_m \in \partial D$  для каждого выхода. Если  $D$  не может быть покрыто даже таким способом, агент может выбрать стартовую точку внутри  $D$ .

Такая постановка связана с тем, что агент-БПЛА может вылетать с мобильной платформы – зарядной станции, которая, в свою очередь, может перемещаться вдоль границ поля (но не заезжать вовнутрь, так как в сельскохозяйственных задачах это невозможно).

Агент должен задерживаться в специально указанных точках

$$POI = \{poi_1, poi_2, \dots, poi_n\} \in D.$$

Например, если агент – это сельскохозяйственный БПЛА, то в этих точках он должен осуществлять сброс ядохимикатов или удобрений. Решения ЗК в такой формулировке автору в доступных ему источниках найти не удалось.

Есть два варианта планирования пути. В первом варианте вся информация о местности известна заранее, оптимальный путь также рассчитывается заранее, а у агента есть список координат, по которым он должен двигаться. Во втором варианте агент вычисляет оптимальный путь непосредственно при прохождении через домен, и возможны изменения состояния домена. Далее мы будем исходить из первого варианта, который всегда следует учитывать, даже если мы используем второй, хотя бы для проверки качества эвристики. В случае реактивного планирования маршрута энергозатраты агента должны учитываться при расчете оптимального пути. Оптимальный маршрут можно рассчитать заранее, в этом случае энергозатраты на планирование маршрута равны нулю. В противном случае энергия агента уменьшается на величину  $E'$  при каждом акте планирования и максимальное время работы агента также уменьшается на величину  $T'$ . Более того, область  $D$  и множество  $POI$  могут меняться со временем, а заранее рассчитанный путь может оказаться неоптимальным.

Дополнительно, агент имеет предельную дальность связи  $r$  и не может отойти от точки  $p_0$  на расстояние, большее чем  $r$ . Когда вышеупомянутая цель не может быть достигнута, агент может изменить положение начальной точки.

Рассмотрим следующие преобразования области:

1. Поворот  $R_\alpha: \mathcal{P} \rightarrow \mathcal{P}$  области  $D$  на угол  $\alpha$ , например, вокруг центра.
2. Дискретизация  $G_{O,a,b}: \mathcal{P} \rightarrow RF$ , т. е. построение сетки точек вида  $O + (na, mb)$ ,  $(n, m) \in \mathbb{Z}^2$  с началом координат в  $O$ . Здесь  $RF \subset \mathbb{R}^2$  – множество ко-

нечных подмножеств  $\mathbb{R}^2$ . Прямоугольники размером  $a \times b$  с центрами в точках сетки должны покрывать всю область  $D$ .

3. Разбиение  $S_{p,\beta}: 2^{\mathbb{R}^2} \rightarrow 2^{\mathbb{R}^2}$  множества (области  $D$  или сетки  $G$ ) прямой, проходящей через точку  $p$  с направляющим вектором  $(\cos\alpha, \sin\alpha)$

$$S_{p,\beta}(D) = \left\{ (x, y) \in D : \det \begin{pmatrix} \cos\alpha & \sin\alpha \\ x - x_0 & y - y_0 \end{pmatrix} < 0 \right\}.$$

4. Перспективное искажение  $H: \mathbb{R}^2 \rightarrow \mathbb{R}^2$  множества (области  $D$  или сетки  $G$ ). Это линейно-дробное преобразование определяется его матрицей гомографии. Данное преобразование соответствует наклонному положению камеры агента.
5. Покрытие  $C(D, G)$  области  $D$  прямоугольниками с центрами в точках сетки  $G$ .

Также пусть  $L(G)$  – решение ЗК для сетки  $G$ . Функцию длины для этого решения и веса для ЗК следует строить с учетом весов точек интереса. Чтобы решить проблему, мы должны постепенно разбить области на подобласти, где вышеупомянутая задача имеет решение. Алгоритм, вкратце, должен быть следующим:

**0.** Устанавливаем  $Remain = \emptyset$ .

**1.** Область  $D$  дискретизируется в сетку  $G = G_{0,a,b}(R_\alpha D)$ , где угол  $\alpha$  таков, что  $G_{0,a,b}(R_\alpha D) \rightarrow \min$ .

**2.** Решаем ЗК для сетки  $G$  и ищем путь  $L(G)$  с ограничением на длину  $\text{length}(L(G)) \leq l$ .

**3.** Если проблема неразрешима, мы можем выбрать **шаги 3.1** или **3.2**, иначе перейти к **шагу 4.2**.

**3.1.** Разбиваем  $D$  и устанавливаем  $D' = S_{p_0,\beta}(R_\alpha D)$ ,  $G = G_{0,a,b}(R_\alpha D')$ ,  $Remain = D \setminus C(D', G)$ . Угол  $\beta$  для отделенной области  $S_{p_0,\beta}(R_\alpha D)$  должен максимизировать путь  $L(G)$  с ограничением  $\text{length}(L(G)) \leq l$ . Устанавливаем  $D = D'$ .

**4.1.** Добавляем  $(D, G, L(G))$  в массив  $Parts$ .

**5.1.** Если  $Remain! = \emptyset$ , устанавливаем  $G = Remain$  и переходим к **шагу 2**, иначе переходим к **шагу 6**.

**3.2.** Разбиваем сетку и устанавливаем  $G' = S_{p_0,\beta}(R_\alpha G)$ ,  $Remain = G \setminus G'$ . Угол  $\beta$  для отделенной сетки  $S_{p_0,\beta}(R_\alpha G)$  должен максимизировать путь  $L(G)$  с ограничением  $\text{length}(L(G)) \leq l$ . Устанавливаем  $G = G'$ .

**4.2.** Добавляем  $(D, G, L(G))$  в массив  $Parts$ .

**5.2.** Если  $Remain! = \emptyset$ , то устанавливаем  $G = Remain$  и переходим к **шагу 2**, иначе переходим к **шагу 6**.

**6.** Конец.

Вариант 3.1 подходит, если в процессе мониторинга может измениться область определения или размер прямоугольников покрытия (т.е. поднимается или опускается агент). В этом случае следующая часть домена может иметь новую сетку с новым размером. Вариант 3.2 более эффективен в вычислительном отношении.

Реализация описанных в докладе алгоритмов в среде Wolfram Mathematica 12 свободно доступна в блоге Wolfram Community [4].

## 2. Генерация случайных доменов, построение и искажение сеток

Для отработки указанного в разделе 1 алгоритма создавались как выпуклые, так и невыпуклые многоугольники фиксированной площади с определенным количеством случайно расположенных вершин (рис. 1).

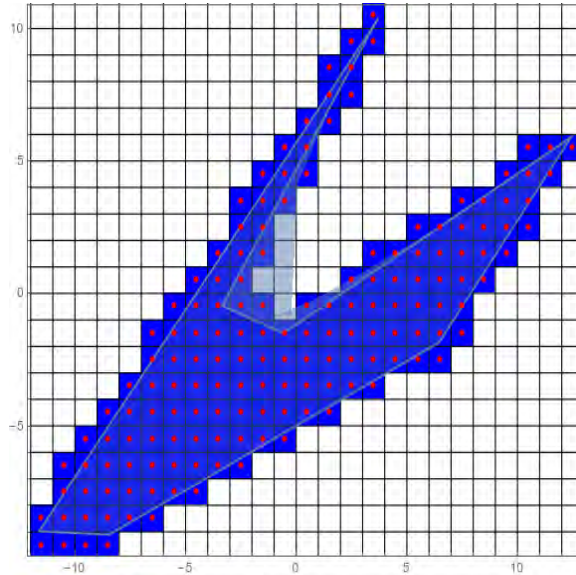


Рис. 1. Пример тестового многоугольника, сетки и покрытия квадратами

Размер ячейки, т. е. покрывающего прямоугольника размера  $a \times b$ , зависит от поля зрения камеры агента и от ее высоты над многоугольником. Если область довольно велика, то компенсировать недостаток энергии у агента можно за счет перспективного искажения области с матрицей гомографии [5]

$$H = \begin{pmatrix} Rot & tran \\ per & dis \end{pmatrix},$$

подняв камеру агента на достаточную высоту и наклонив ее. Здесь  $Rot$  – двумерная матрица поворота камеры,  $tran$  – вектор сдвига, вектор  $per$  отвечает за перспективу, а число  $dis$  – за подъем камеры. На рис. 2 показано искажение области с матрицей гомографии

$$H = \begin{pmatrix} 1 & 0 & 0 \\ 0 & 1 & 0 \\ 0.3 & 0.9 & 9 \end{pmatrix}.$$

Искаженный многоугольник покрывается меньшим числом прямоугольников, чем исходный, что упрощает задачу нахождения кратчайшего пути. При обратном преобразовании  $H^{-1}$  получается покрытие исходного многоугольника выпуклыми четырехугольниками.

При движении агента из точки  $r$  в точку  $r_0$  матрица гомографии должна изменяться, чтобы сохранять возможность состыковать покрытие области в разных точках без пересечений и пробелов. Вид указанного изменения следует из выражения для дробно-линейного преобразования

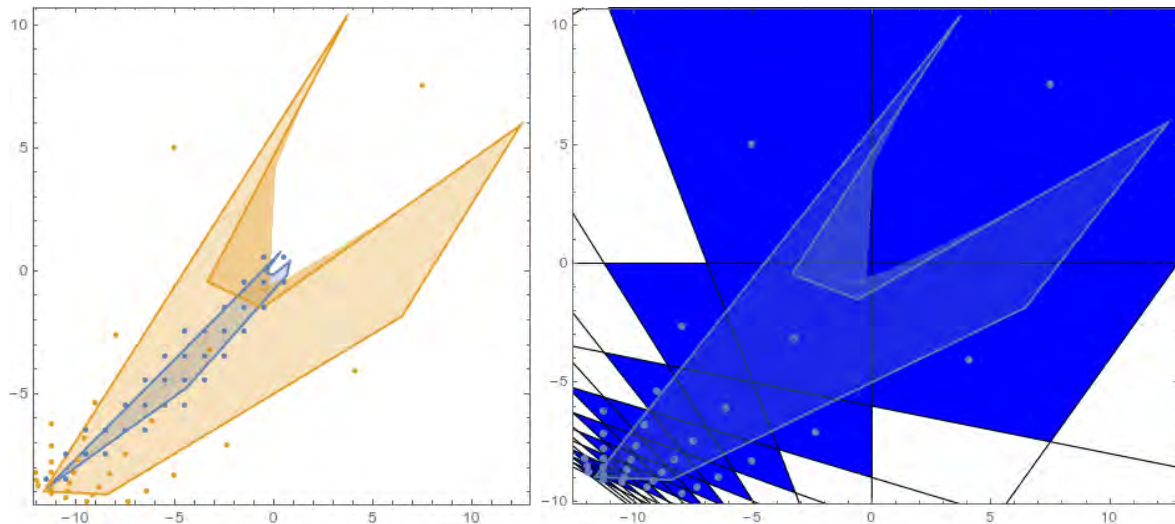


Рис. 2. Построение покрытия с перспективой

Видно, что элементов сетки существенно меньше, чем для покрытия без искажений

$$\frac{Rot(r + r_0) + tran}{per \cdot (r + r_0) + dis} = \frac{Rot r + (Rot r_0 + tran)}{per \cdot r + (per \cdot r_0 + dis)}$$

т. е. камеру агента надо поднимать выше по мере движения.

### 3. Вычисление и сглаживания кратчайшего пути в одной подобласти

Для вычисления решения (точного или приближенного) ЗК могут быть использованы свободно доступные библиотеки решателя Concorde [6]. В случае прямоугольной сетки задача о самом длинном пути имеет алгоритм решения с линейной сложностью [7]. Поскольку решение представляет собой ломаную линию, что может быть неестественно для некоторых агентов, можно сгладить найденный путь сплайнами того или иного вида.

На рис. 3 показаны примеры интерполяции пути сплайнами третьего порядка (красная линия) и  $B$ -сплайнами второго порядка (оранжевая линия).

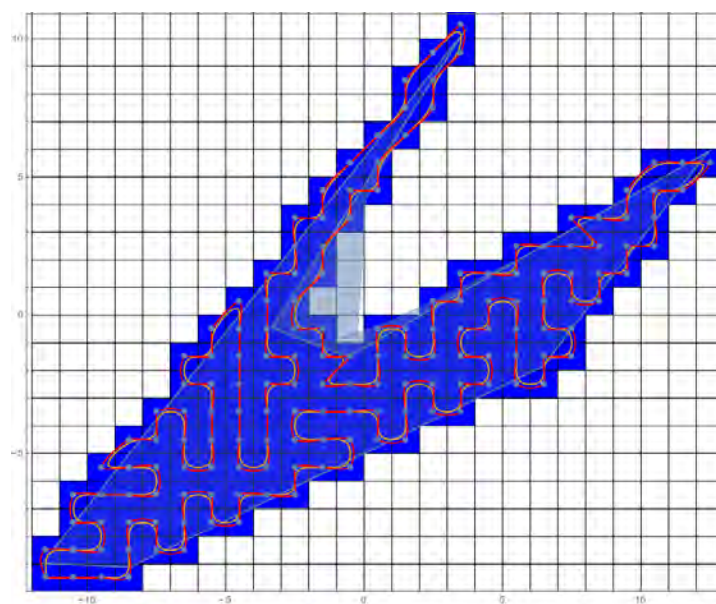


Рис. 3. Пример покрывающего пути и его сглаживаний сплайнами

#### 4. Разбиение области на подобласти для выпуклых и невыпуклых многоугольников, поиск набора кратчайших путей для подобластей

Зададим прямую  $\ell$ , отсекающую часть многоугольника, начальной точкой движения агента и направляющим вектором  $(\cos\beta, \sin\beta)$ . Алгоритм нахождения частей многоугольника  $D$  с вершинами  $d_1, \dots, d_m$  таков:

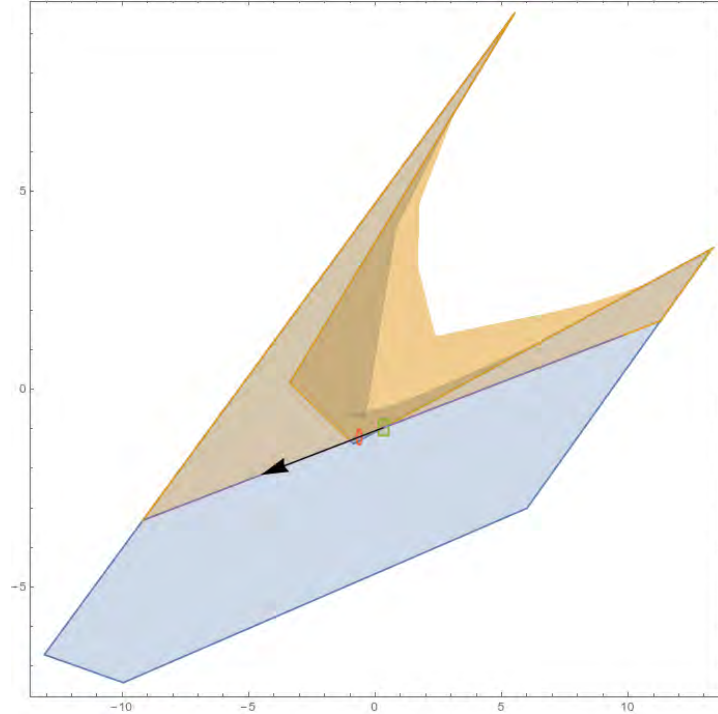


Рис. 4. Разбиение многоугольника.  
Стрелкой обозначен направляющий вектор прямой

1. Для всех сторон многоугольника, заданных списком  $\mathbf{d} = \{(d_1, d_2), (d_2, d_3), \dots, (d_{m-1}, d_m)\}$ , находим точки пересечения  $s = \{s_1, \dots, s_n\}$  с прямой  $\ell$ . Если какая-то из сторон лежит на прямой  $\ell$ , то переходим к следующей стороне.
2. Если какая-то из точек  $s$  совпадает с вершиной многоугольника  $D$ , то исключаем ее из  $s$ .
3. Если  $s_k \in s$  – точка пересечения для  $(d_{i-1}, d_i) \in \mathbf{d}$ , и  $\det \begin{pmatrix} \cos\beta & \sin\beta \\ d_i - p_0 \end{pmatrix} \geq 0$ , то заменяем в  $\mathbf{d}$  сторону  $(d_{i-1}, d_i)$  на  $(d_{i-1}, s_k)$ .
4. Если  $s_k \in s$  – точка пересечения для  $(d_{i-1}, d_i) \in \mathbf{d}$ , и  $\det \begin{pmatrix} \cos\beta & \sin\beta \\ d_i - p_0 \end{pmatrix} < 0$ , то заменяем в  $\mathbf{d}$  сторону  $(d_{i-1}, d_i)$  на  $(s_k, d_i)$ .
5. Если  $s_k \in s$  – точка пересечения для  $(d_{i-1}, d_i) \in \mathbf{d}$ ,  $s_{k+1}$  – точка пересечения для  $(d_{j-1}, d_j)$ , то вставляем в  $\mathbf{d}$  сторону  $(s_{k+1}, s_k)$  после стороны  $(d_{j-1}, d_j)$ .

В результате мы получаем многоугольник  $S_{p_0, \beta}(D)$ , заданный своим списком сторон  $\mathbf{d}$ , полученным в результате применения алгоритма. Далее, для невыпуклых многоугольников необходимо получить список их частей, полученных в результате вращения отсекающей прямой от 0 до  $2\pi$  с шагом  $\Delta\beta$ , зависящем от размера ячейки сетки  $a \times b$  и от диаметра многоугольника. Каждой из полученных частей соответствует свое решение ЗК (см. рис. 5).



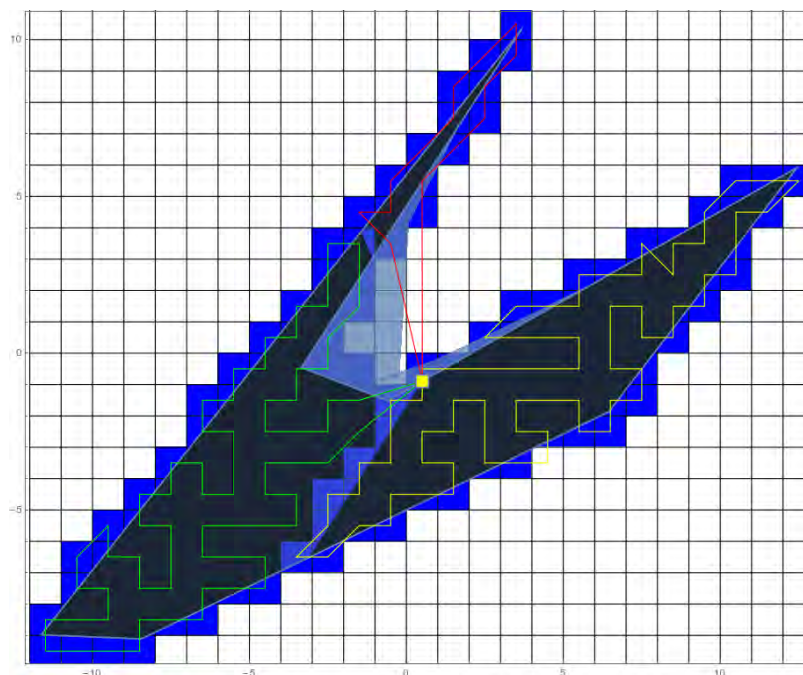


Рис. 5. Поиск покрывающего пути в разбитом многоугольнике.  
Точка старта обозначена желтым квадратом

В случае выпуклого многоугольника (рис. 6) мы можем разбить его определенным образом, изменяя угол линии разбиения не от 0 до  $2\pi$ , а в меньшем промежутке. Это может быть полезно для целей оптимизации. Мы рассмотрим два случая: начальная точка находится в вершине многоугольника и начальная точка находится на ребре многоугольника.

Если начальная точка – вершина  $d_i$ , то необходимо найти смежные вершины  $d_k, d_j$  и найти наименьший угол  $\gamma$  между ребрами  $(d_k, d_i), (d_i, d_j) \in \mathbf{d}$ . При начальном значении  $\beta$  отсекающая прямая проходит через  $(d_k, d_i)$ , при конечном – через  $(d_i, d_j)$ , при этом направляющий вектор прямой должен быть направлен к центру области  $D$ . Таким образом, вместо  $\lceil 2\pi/\Delta\beta \rceil$  областей, надо будет сравнить лишь  $\lceil \gamma/\Delta\beta \rceil$  областей.

Если начальная точка не является вершиной и принадлежит стороне  $(d_i, d_{i+1})$ , то необходимо изменять угол  $\beta$  так, чтобы и в его начальном, и в его конечном значениях отсекающая прямая проходила через  $(d_i, d_{i+1})$ . Тогда придется строить решения ЗК для  $\lceil \pi/\Delta\beta \rceil$  областей.

Если диаметр сетки, соответствующей  $S_{p_0, \beta}(D)$ , больше радиуса связи  $r$  или длина пути – решения ЗК больше  $l$ , то такое множество исключается из рассмотрения. Из оставшихся множеств выбираются такие, что для них длина пути – решения ЗК максимальна.

Таким образом, мы можем найти такое  $\beta$ , что решение задачи комивояжера внутри  $S_{p_0, \beta}(D)$  будет удовлетворять ограничениям на длину пути  $l$  и на радиус связи  $r$  при этом длина пути будет максимально возможной при этом ограничении. Далее возникает проблема перекрытия путем оставшейся части  $D$ . Для исключения этого перекрытия, необходимо построить сетку для  $S_{p_0, \beta}(D)$ , построить по этой сетке покрытие прямоугольниками, а затем вычесть это покрытие из  $D$ . После этого упомянутый алгоритм можно повторять, пока все  $D$  не будет покрыто.

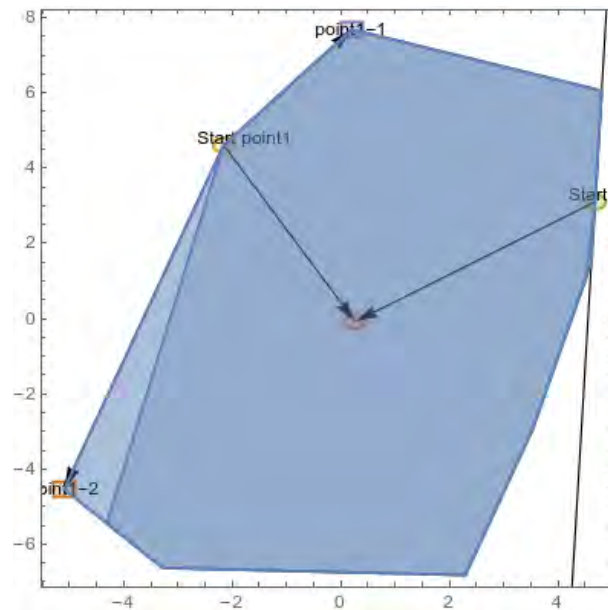


Рис. 6. Разбиение выпуклого многоугольника.

Эллипсами обозначены начальные точки и центр многоугольника

### 5. Смена стартовых точек

Иногда невозможно разделить многоугольник на меньшие многоугольники, чтобы агент мог покрывать их из одной стартовой позиции. Если у нас нет вариантов разделения, то мы можем изменить начальную точку. Из практических соображений новая начальная позиция должна предпочтительно находиться на границе домена. Причина в том, что в сельском хозяйстве агент не должен пересекать поля, чтобы не повредить ценные растения. Кроме того, мы можем триангулировать [8] многоугольник на меньшие многоугольники с площадью  $maxArea$ , внутри которых агент заведомо может построить покрывающий путь. Мы можем использовать любую из следующих точек на границе полигона в качестве начальной позиции агента.

В качестве начальных позиций следует выбрать точки, являющиеся общими вершинами наибольшего возможного числа треугольников (см. рис. 7). В этом случае мы можем покрыть множество треугольников, не меняя начальную точку. Но пути в треугольниках могут быть неоптимальными, и мы можем объединить треугольники, чтобы найти более оптимальные пути.

Каков критерий применения процесса триангуляции? Например, в равностороннем треугольнике изменение начальной точки может оказаться бесполезным. Будем предполагать, что мы триангулируем регион, если все его стороны длиннее, чем  $l/2$ , где  $l$  – максимально возможная длина пути агента.

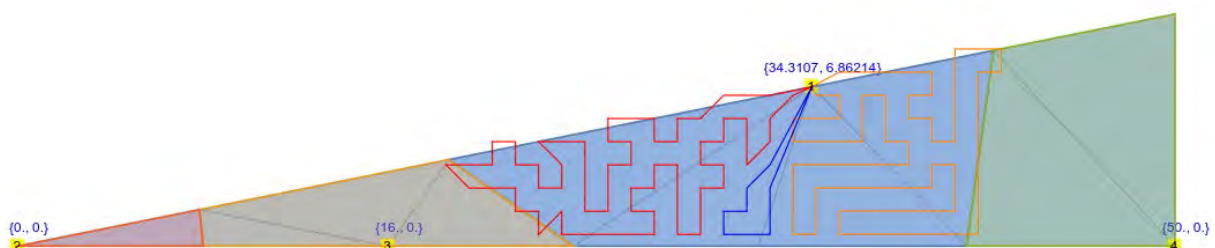


Рис. 7. Разбиение многоугольника со сменой стартовых позиций.

Желтые квадраты с цифрами 1, 2, 3, 4 обозначают стартовые позиции. Разными цветами выделены подобласти, покрываемые агентом из разных стартовых позиций

### 6. Случай динамической задачи коммивояжера

В процессе выполнения агентом задания могут измениться как параметры области, так и параметры самого агента. Мы рассмотрим следующие возможные события:

1. Изменение конфигурации домена.
2. Изменение четырехугольника покрытия.
3. Изменение скорости агента.
4. Изменяется максимальная длина пути агента (из-за изменения направления ветра или температуры).
5. Изменение списка важных для посещения агентом точек *POI*.

Событие 1 равносильно добавлению в матрицу весов (или удалению из матрицы) ЗК новых строк и столбцов, событие 2 может вызвать возникновение совершенно новой матрицы весов. Если мы покрываем области прямоугольниками, и длины соответствующих сторон нового и старого прямоугольников покрытия кратны, то событие 2 также вызывает лишь вставку новых строк и столбцов в матрицу весов (или удаление строк или столбцов из матрицы) для ЗК между уже существующими строками и столбцами. События 3 и 4 влияют на разбиение области на подобласти (количество подобластей уменьшается при увеличении максимальной длины пути агента и увеличивается при уменьшении максимальной длины пути), а событие 5 требует введения особой метрики, которую может оказаться невозможным представить в виде матрицы весов. Например, если агент должен посетить каждую точку из списка *POI* в точности определенное количество раз, то для каждой такой точки должен быть заведен счетчик количества посещений, значение которого может еще и изменяться независимо от действий агента. Внутри метрики должны быть использованы глобальные переменные – счетчики количества посещений заданных точек. В этом случае, ЗК превращается в сложную динамическую задачу коммивояжера. Concorde не предназначен для решения подобных задач и мы должны создать специальный решатель. Например, можно применить генетический алгоритм или алгоритм муравьиной колонии, как описано в [9, 10].

### 7. Вычислительная сложность алгоритма

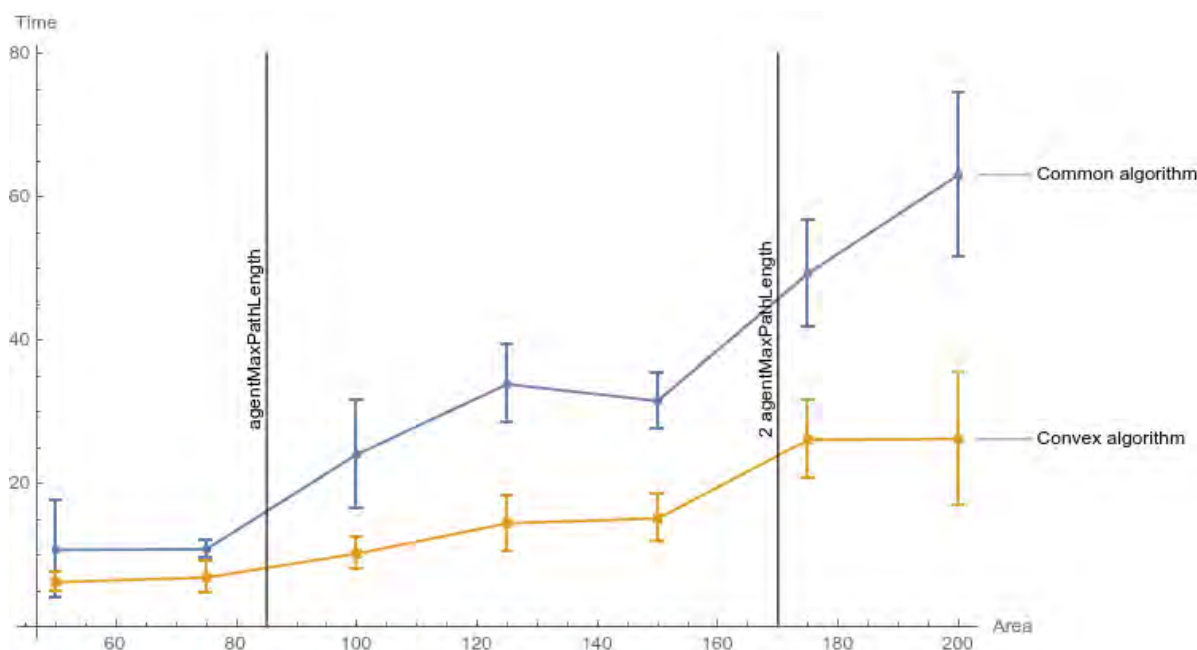


Рис. 8. Зависимость времени выполнения алгоритма от площади многоугольника.  
Максимальная длина пути  $l = agentMaxPathLength$



Было проведено по 30 испытаний для восьмиугольников площадью от 50 до 200 с шагом 15 и максимальной длиной пути  $l = 85$ . Как и можно предполагать, время вычисления пути возрастает при значениях площади около 85 и  $2 \cdot 85$ , так как обычно добавляются новые подобласти при разбиении многоугольника (см. рис. 8). Также было произведено по 30 испытаний для многоугольников площадью 100 и количеством вершин от 3 до 10. В обоих случаях область покрывалась квадратами  $1 \times 1$ . Результаты представлены на рис. 9. Эксперименты проводились как для невыпуклых (синие маркеры), так и для выпуклых (оранжевые маркеры) многоугольников.

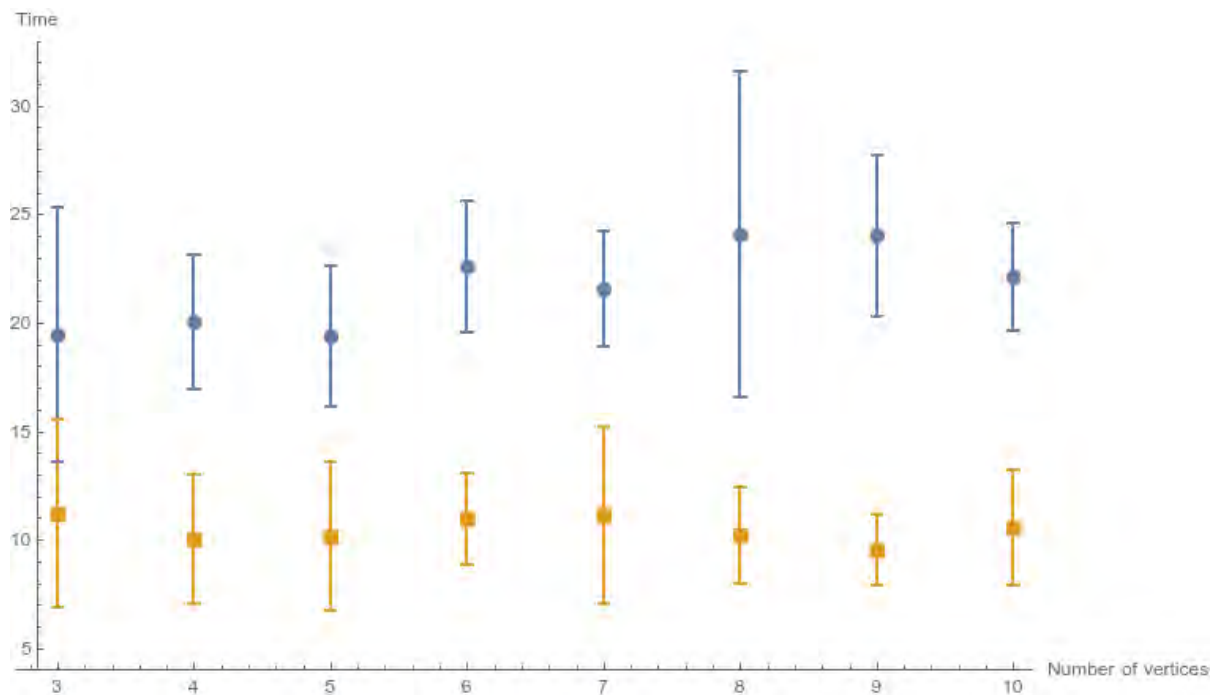


Рис. 9. Зависимость времени выполнения алгоритма от количества вершин многоугольника. Вертикальные линии обозначают среднеквадратическое отклонение

### Заключение

В докладе были рассмотрены способы разбиения области с полигональной границей, так, чтобы в каждой части области существовало решение задачи коммивояжера с ограничениями на длину пути. Дальнейшим развитием идей этого доклада будет исследование трехмерных областей, нескольких агентов, одновременно строящих пути покрытия и избегающих коллизий и потери связи, и построение решения динамической задачи коммивояжера для изменяющихся в процессе движения агента ограничений. Помимо этого, практическое значение имеет моделирование системы зарядки, погрузки и разгрузки агента и явный учет энергетических расходов на планирование траектории в постановке задачи.

Работа выполнена при поддержке Минобрнауки России, государственное задание № FFGZ-2021-0001.

### Литература

1. **Galceran Enric, Carreras Marc.** A survey on coverage path planning for robotics // *Robotics and Autonomous Systems*. – 2013. – Vol. 61, iss. 12. – P. 1258-1276. URL: <https://doi.org/10.1016/j.robot.2013.09.004>

2. **Fevgas G., Lagkas T., Argyriou V., Sarigiannidis P.** Coverage Path Planning Methods Focusing on Energy Efficient and Cooperative Strategies for Unmanned Aerial Vehicles // Sensors. – 2022. – Vol. 22. – P. 1235. URL: <https://doi.org/10.3390/s22031235>
3. **Acevedo Jose, Arrue Begoña, Maza Ivan, Ollero Anibal.** Distributed Approach for Coverage and Patrolling Missions with a Team of Heterogeneous Aerial Robots Under Communication Constraints // International Journal of Advanced Robotic Systems. – 2013. URL: <https://doi.org/10.5772/52765>
4. **Kuznetsov Alexander.** The coverage path planning problem with constraints on the path length and time // Wolfram Community, STAFF PICKS, August 23, 2023. URL: <https://community.wolfram.com/groups/-/m/t/2997003>
5. **Hartley R.I., Zisserman A.,** Multiple View Geometry in Computer Vision. – Cambridge, UK: Cambridge University Press, 2004. – P. 32. URL: <http://www.cambridge.org/9780521540513>
6. Concorde TSP Solver. URL: <https://www.math.uwaterloo.ca/tsp/concorde.html>
7. **Keshavarz-Kohjerdi Fatemeh, Bagheri Alireza, Asgharian-Sardroud Alireza.** A linear-time algorithm for the longest path problem in rectangular grid graphs // Discrete Applied Mathematics. – 2012. – Vol. 160, iss. 3. – P. 210-217. URL: <https://doi.org/10.1016/j.dam.2011.08.010>
8. **Weisstein Eric W.** Triangulation // MathWorld – A Wolfram Web Resource. URL: <https://mathworld.wolfram.com/Triangulation.html>
9. **Li C., Yang M., Kang L.** A New Approach to Solving Dynamic Traveling Salesman Problems // Simulated Evolution and Learning. SEAL 2006 // Lecture Notes in Computer Science. – 2006. – Vol. 4247. – Springer, Berlin, Heidelberg. URL: [https://doi.org/10.1007/11903697\\_31](https://doi.org/10.1007/11903697_31)
10. **DeJans Adam.** Solving the Dynamic Travelling Salesman Problem (DTSP) via Ant Colony Optimization. June 2018. URL: <https://github.com/addejans/Dynamic-TSP>

**Math-Net.Ru** <https://www.mathnet.ru/rus/person42488>

**Google Академия** <https://scholar.google.com/citations?user=kHiFTDcAAAAJ&hl=ru>

**ZentralMATH** Список публикаций на ZentralBlatt

**eLIBRARY.RU** [https://elibrary.ru/author\\_items.asp?spin=9484-8071](https://elibrary.ru/author_items.asp?spin=9484-8071)

**ORCID** <https://orcid.org/0000-0002-0365-2077>

**RESEARCHERID** <https://www.webofscience.com/wos/author/record/H-5773-2017>

**Scopus** <https://www.scopus.com/authid/detail.url?authorId=14523105900>

**ResearchGate** [https://www.researchgate.net/profile/Alexandr\\_Kuznetsov3](https://www.researchgate.net/profile/Alexandr_Kuznetsov3)